

Л.С. Егорова, Н.Е. Вайгант, Т.А. Задкова

Экстракционно-фотометрическое определение палладия в расслаивающейся системе, содержащей воду, тиопирин, трихлоруксусную и ортофосфорную кислоты

Водные растворы трихлоруксусной кислоты имеют интересное свойство расслаиваться на две жидкие фазы при введении высаливателей, в том числе ортофосфорной кислоты [1]. Экстракция ионов металлов в тройной системе с расслоением вода-трихлоруксусная кислота-ортофосфорная кислота характеризуется низкой эффективностью [2], увеличить которую способен реагент, образующий устойчивые комплексы с ионами металлов [3, 4]. К таковым относится тиопирин, как и высаливатели, расслаивающий водные растворы трихлоруксусной кислоты [5, 6]. Фактически речь идет о процессах расслаивания и распределения элементов в четверной системе вода-тиопирин-трихлоруксусная кислота-ортофосфорная кислота [7]. В настоящем сообщении приводятся результаты изучения экстракции палладия, положенные в основу методики его экстракционно-фотометрического определения. Для проведения методики эксперимента использовали следующие растворы: 8,7 моль/л H_3PO_4 , 6,4 моль/л CCl_3COOH , 0,0079 моль/л $PdCl_2$, 0,1 моль/л тиопирин в ортофосфорной кислоте.

Методом изомолярных серий получили оптимальное соотношение кислот CCl_3COOH и H_3PO_4 , при котором наблюдается большой объем органической фазы – 8 ммоль : 11 ммоль. Объем добавляемой воды не должен превышать 8% от общего объема системы, иначе она гомогенизируется. При снятии спектра поглощения комплекса палладия с тиопирином было выявлено два максимума светопоглощения:

1) УФ-область – размытый максимум в пределах $\lambda = 333 - 352$ нм;

2) видимая область $\lambda = 541$ нм.

Определения проводили при $C_{(H_3PO_4)} = 8,7$ моль/л – это видно из зависимости оптической плотности от концентрации H_3PO_4 (рис. 1).

Установлено, что определение можно проводить в интервале 0,1-0,3 моль/л тиопирин (ТП), так как происходит полное связывание палладия в комплекс (рис. 2).

При обработке градуировочных графиков по методу наименьших квадратов были найдены молярные коэффициенты светопоглощения.

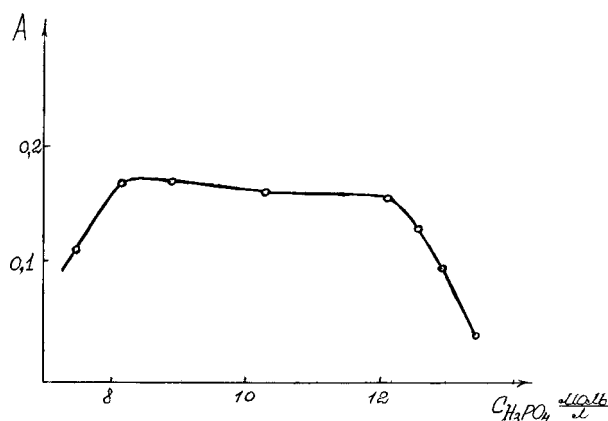


Рис. 1. Зависимость оптической плотности экстракта от концентрации ортофосфорной кислоты ($n_{Pd} = 4,7 \cdot 10^{-4}$ ммоль; $n_{CCl_3COOH} = 16$ ммоль; $n_{C_{11}H_{12}N_2S} = 0,07$ ммоль)

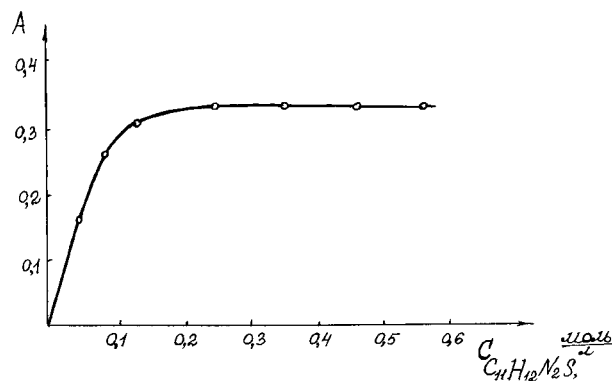


Рис. 2. Зависимость оптической плотности экстракта от концентрации тиопирин ($n_{Pd} = 4,7 \cdot 10^{-4}$ ммоль; $n_{CCl_3COOH} = 16$ ммоль)

Видимая область ($\lambda = 541$ нм): $Y = 984x + 0,029$. Линейность графика соблюдается в интервале концентраций $9,3 \cdot 10^{-5}$ до $6,6 \cdot 10^{-4}$ моль/л палладия, $\epsilon = 0,9 \cdot 10^3$, он невелик, значит при данной длине волны $\lambda = 541$ нм можно определять высокие концентрации палладия (рис. 3).

Ультрафиолетовая область ($\lambda = 350$ нм): $Y = 22126x - 0,05$. Линейность графика соблюдается в интервале концентраций палладия $0,5 \cdot 10^{-5}$ моль/л – $3,3 \cdot 10^{-5}$ моль/л. Молярный коэффициент светопоглощения $\epsilon = 2,2 \cdot 10^4$ (рис. 4).

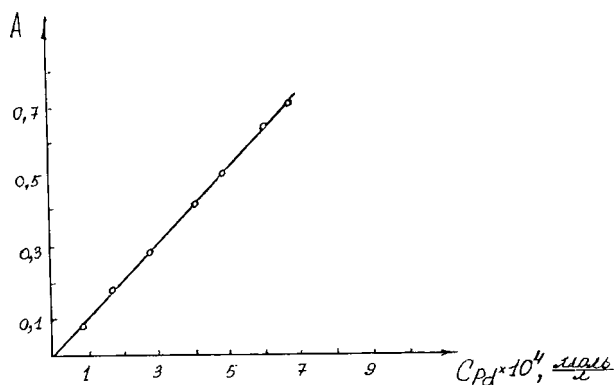


Рис. 3. Градуировочный график для экстракционно-фотометрического определения палладия ($\lambda = 541$ нм, $n_{C_{11}H_{12}N_2S} = 0,07$ ммоль)

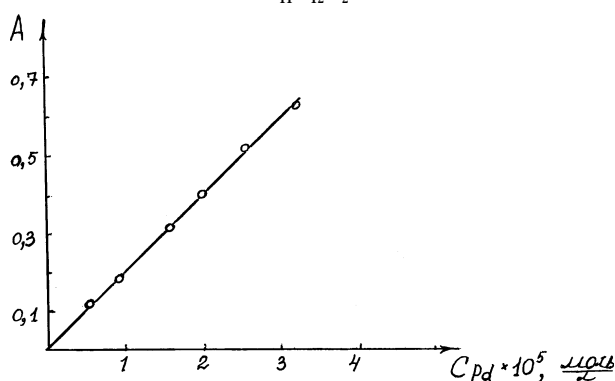


Рис. 4. Градуировочный график для экстракционно-фотометрического определения палладия ($\lambda = 350$ нм, $n_{C_{11}H_{12}N_2S} = 0,07$ ммоль)

Рассчитаны кажущиеся коэффициенты светопоглощения (табл. 1).

Проверена воспроизводимость определения палладия в растворах его солей (табл. 2). Ис-

Таблица 1

Значения кажущихся коэффициентов молярного светопоглощения комплекса палладия с тиопирином ($l = 1$ см)

| Концентрация Pd, моль/л 10^4 | A | $\epsilon_{\text{каж}} 10^{-4}$ | $\epsilon_{\text{каж}} 10^{-4}$ |
|--------------------------------|------|---------------------------------|---------------------------------|
| $\lambda = 350$ нм | | | |
| 0,47 | 0,10 | 2,13 | $2,04 \pm 0,03$ |
| 0,94 | 0,18 | 1,91 | |
| 1,41 | 0,29 | 2,06 | |
| 1,88 | 0,39 | 2,07 | |
| 2,36 | 0,48 | 2,03 | |
| 2,83 | 0,58 | 2,05 | |
| 3,30 | 0,67 | 2,03 | |
| $\lambda = 541$ нм | | | |
| 0,93 | 0,12 | 0,13 | $0,11 \pm 0,04$ |
| 1,80 | 0,18 | 0,10 | |
| 2,28 | 0,29 | 0,13 | |
| 3,80 | 0,40 | 0,11 | |
| 4,70 | 0,49 | 0,10 | |
| 5,60 | 0,58 | 0,10 | |
| 6,60 | 0,68 | 0,10 | |

Таблица 2

Определение палладия с тиопирином ($n = 5$ при $\lambda = 350$ нм, $n = 7$ при $\lambda = 541$ нм)

| Взято, мкг a | Найдено, мкг $\chi \pm \epsilon$ | Sr | Относительная ошибка, % $\Delta = \frac{\chi - \alpha}{\alpha} \cdot 100\%$ |
|--------------------|-------------------------------------|-------|--|
| $\lambda = 350$ нм | | | |
| 2,0 | 1,7±0,5 | 0,15 | 15 |
| 3,0 | 2,8±0,4 | 0,05 | 6,7 |
| 4,0 | 3,9±0,3 | 0,03 | 2,5 |
| 6,0 | 5,9±0,3 | 0,02 | 1,7 |
| 7,0 | 6,8±0,4 | 0,03 | 2,9 |
| $\lambda = 541$ нм | | | |
| 20,0 | 19,7±0,4 | 0,009 | 1,5 |
| 40,0 | 39,8±0,4 | 0,004 | 0,5 |
| 60,0 | 59,6±0,7 | 0,005 | 0,7 |
| 80,0 | 79,3±0,4 | 0,002 | 0,8 |
| 100,0 | 99,3±0,4 | 0,002 | 0,7 |
| 120,0 | 118,1±0,8 | 0,005 | 1,6 |
| 140,0 | 137,8±0,8 | 0,005 | 1,7 |

пользуя метод Бента-Френча и Остромысленского-Жоба (метод изомолярных серий) определен состав комплекса, палладий (II) : тиопирин 1 : 4 соответственно, имеющего желто-коричневую окраску.

Изучено мешающее влияние ионов металлов определению палладия (II). Установлено, что определению палладия не мешают: Si, Ni, Sn, As, Fe, Pt, щелочные и щелочно-земельные металлы. Определению палладия мешают следующие элементы: Си, Мо, Ос, Sb, Те, Ai, Ag, Bi.

Разработана методика определения палладия в искусственной модельной смеси никель-пирроотинового концентрата, содержащей Si - 0,3%; Al - 1; Fe - 40; Ca - 0,6; Mg - 0,4; S - 16; Ni - 2; Co - 0,1; Cu - 0,6; Pt - 0,0003; Pd - 0,0025%.

Медь является мешающим компонентом в данной модельной смеси. Аскорбиновая кислота оказывает маскирующее действие на медь. Изучено, что при добавлении аскорбиновой кислоты в систему она не оказывает влияния на определение палладия, т.е. оптическая плотность при этом не изменяется. При концентрации аскорбиновой кислоты больше 50 мг/мл происходит существенное смещение оптической плотности.

Методика определения: в систему, содержащую 2,5 мл CCl_3COOH , 1,8 мл H_3PO_4 , 0,7 мл ТП, вносят модельную смесь, содержащую 14 мкг палладия (0,0025%) (общий объем систе-

Таблица 3
Статистическая обработка результатов анализа палладия (II) в искусственной смеси никель-пирротинового концентрата

| Введено палладия (II), % 10 ³ | Найдено палладия (II), % 10 ³ | $\chi \cdot 10^3$ | Относительное стандартное отклонение, Sr | $(\chi \pm \delta) 10^3$ |
|--|--|-------------------|--|--------------------------|
| 2,50 | 2,46 | 2,49 | $2,81 \cdot 10^{-2}$ | 2,49±0,02 |
| | 2,50 | | | |
| | 2,41 | | | |
| | 2,54 | | | |
| | 2,37 | | | |
| | 2,58 | | | |
| | 2,52 | | | |
| | 2,53 | | | |

мы 5 мл). Спустя 3 часа после отстаивания органическую фазу переносят в кюветы ($l = \text{см}$) и измеряют оптическую плотность экстракта.

Содержание в аликвоте палладия (II) находят, используя метод добавок по формуле:

$$C_x = \frac{C_a \cdot A_x}{A_{x+q} - A_x},$$

где C_x – концентрация палладия в исследуемом растворе (мкг/мл); C_a – концентрация палладия в стандартном растворе (мкг/мл); A_x , A_{x+q} – оптическая плотность исследуемого и стандартного растворов.

Массовую долю по отношению к основному компоненту рассчитывали

$$\varpi = \frac{m_{\text{ип}}}{m_{\text{теор}}} \cdot 100\%$$

Из таблицы 3 видно, что стандартное отклонение $Sr = 2,81 \cdot 10^{-2}$, доверительные границы $(2,49 \pm 0,02) 10^{-3}\%$.

Выводы

1. Исследован спектр поглощения комплекса палладия (II) с тиопирином в УФ и видимой области. В УФ-области наблюдается размытый максимум $\lambda = 333 - 352 \text{ нм}$, в видимой области спектра $\lambda = 541 \text{ нм}$.

2. Выбраны оптимальные условия экстракционно-фотометрического определения палладия (II) с исследуемым реагентом: оптимальное соотношение объемов фаз кислот 1 : 1; интервал кислотности ортофосфорной кислоты составляет 8,6 – 12,0 моль/л, определен интервал концентрации палладия (II), прямолинейная зависимость соблюдается в ультрафиолетовой области: ($\lambda = 350 \text{ нм}$) $0,5 \cdot 10^{-5}$ моль/л до $3,3 \cdot 10^{-5}$ моль/л; в видимой области: $9,3 \cdot 10^{-5}$ до $6,6 \cdot 10^{-4}$ моль/л ($\lambda = 54 \text{ нм}$).

3. Установлен состав комплекса Рд : ТП = 1 : 4.

4. Определены молярные коэффициенты светопоглощения

$$\epsilon_{541} = 9,8 \cdot 10^2;$$

$$\epsilon_{350} = 2,2 \cdot 10^4.$$

5. Изучено влияние посторонних ионов на определение палладия. Разработана методика определения палладия (II) в никель-пирротинном концентрате и опробирована на модельной смеси.

Литература

- Петров Б.И., Егорова Л.С., Комиссарова С.Н. Физико-химический анализ системы вода-ортофосфорная и трихлоруксусная кислоты // Известия АГУ. №1.
- Вайгант Н.Е., Егорова Л.С., Хлобыстова О.Л., Демидова В.С. Экстракционно-фотометрическое определение фенола в расслаивающихся системах: вода-трихлоруксусная кислота-высаливатель // Моделирование и физико-химические методы исследования: Сб. статей. Барнаул, 2001.
- Акимов В.К., Бусев А.И., Кодуа К.В. Тиопирин и некоторые его производные как аналитические реагенты на палладий и платину // Журнал аналитической химии. Т. 33. №12.
- Долгарев А.В., Лысак Я.Г., Зибарова Ю.Ф. Тиопирин и дитиопирилметан – новые аналитические реагенты. Синтез и свойства // Применение производных пиразолона в аналитической химии: Сб. статей. Пермь, 1977.
- Петров Б.И., Чукин В.М., Яковлева Т.П. Фазовые равновесия в водных расслаивающихся системах с антипирином (тиопирином) и трихлоруксусной кислотой // Журнал общей химии. 1991. Т. 61. №5.
- Петров Б.И., Яковлева Т.П., Чукин В.М., Егорова Л.С. Образование новых экстракционных систем при протолитическом взаимодействии и высаливании органических соединений // Журнал прикладной химии. 1993. №8.
- Петров Б.И., Егорова Л.С., Майданская Е.В. Физико-химический анализ четверной системы вода-тиопирин-трихлоруксусная и ортофосфорные кислоты // Известия АГУ. 1999. №3.